

# INF5490 RF MEMS

## **L8: RF MEMS svitsjer, II**

V2007, Oddvar Søråsen  
Institutt for informatikk, UiO

# Dagens forelesning

- Design av RF MEMS svitsjer
  - Elektromekanisk design, II
  - RF design
- Eks. på implementasjoner
  - Struktur
  - Fremstilling
  - Ytelse
- Spesielle strukturer og aktiveringsmekanismer
- Noen utfordringer

# Elektromekanisk design, II

- Konstruktør må ta hensyn til

– **Stress** →

– Dynamiske forhold

- **Demping**

- Hvordan **aktiveringsspenningen** påvirker svitsje-hastigheten

# Stress

- Stress bygges inn under **fremstillingen**: høy T → lav T
  - Pga. ulike egenskaper i nabomaterialer
    - "Residual stress"
- Endring av stress ved **temperaturvariasjon under drift**
  - Ulike termiske utvidelseskoeffisienter
- Eks. aksialt **tensilt stress** (tøyende spenning)
  - Fjærkonstanten  $k_z$  øker (strengen spennes)
  - $k_z$  kan øke 20x når tensilt stress 0 → 300 MPa
  - $V_{pi}$  kan øke 4.5x når tensilt stress 0 → 300 MPa
- **Tensilt stress må tas i betraktning!**
- Stress kan **evalueres** ved å måle "misalignment" av teststrukturer (forskyvning av mønstre) →

# Micro strain gauge with mechanical amplifier

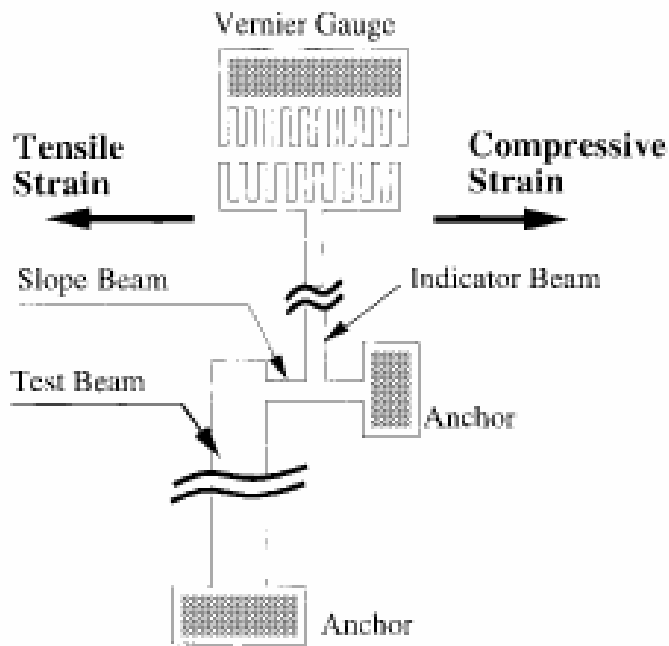


Fig. 1. Schematic diagram of a strain gauge based on the mechanical amplifier.

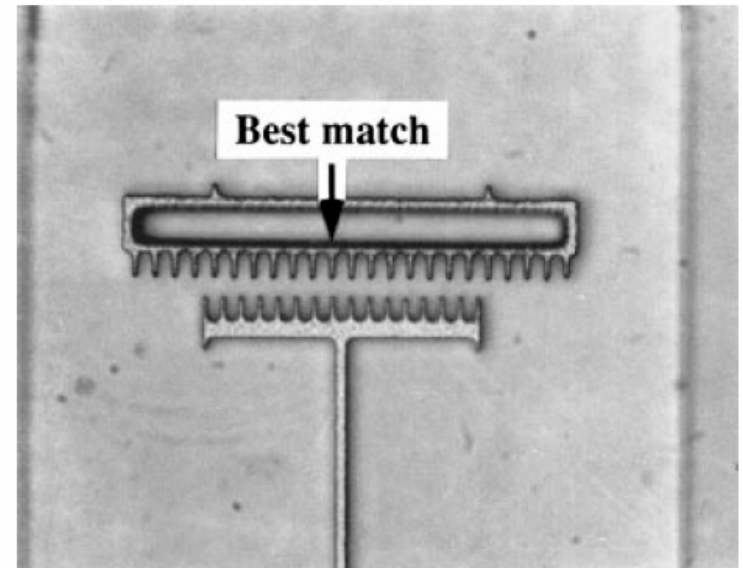


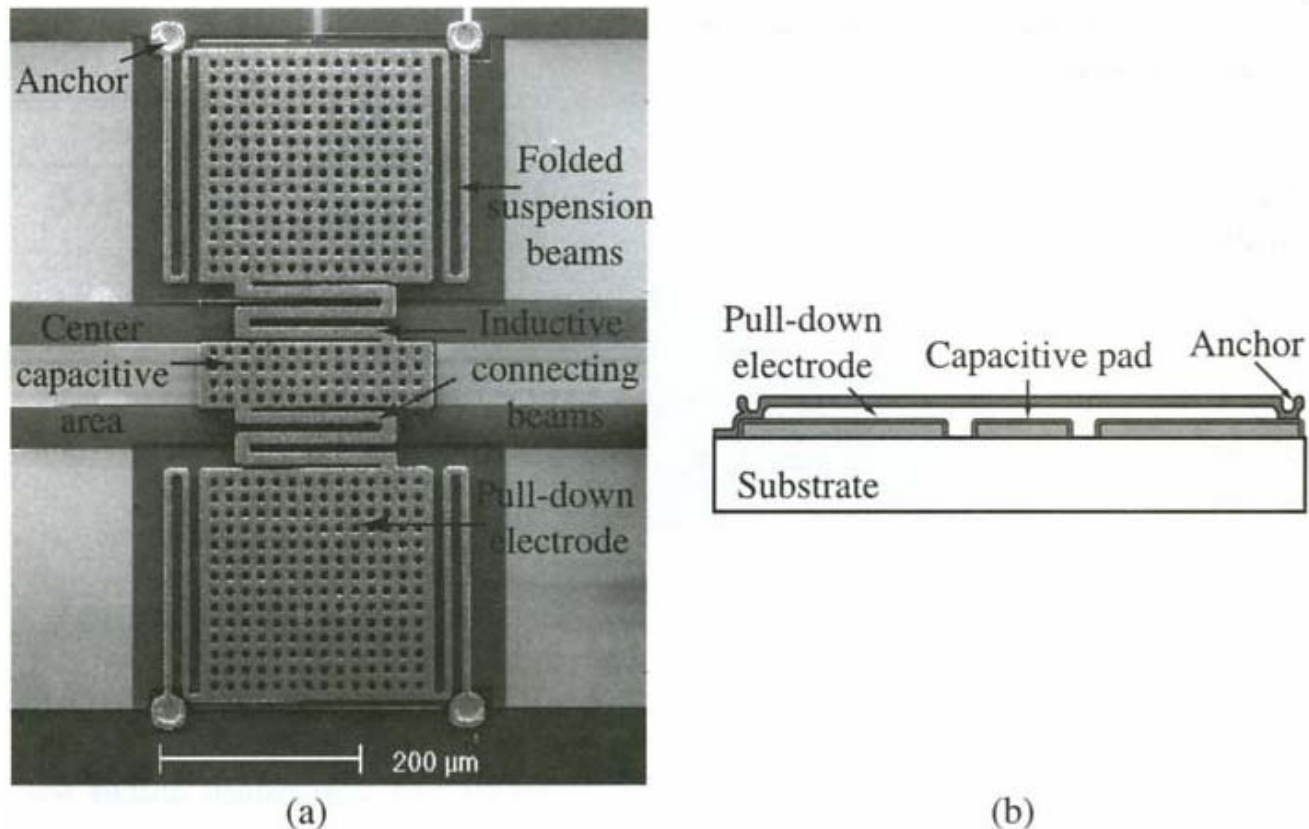
Fig. 4. An example of strain-gauge reading under an optical microscope.

Jmfr. "skyvelær"

# Svitsjehastighet og demping

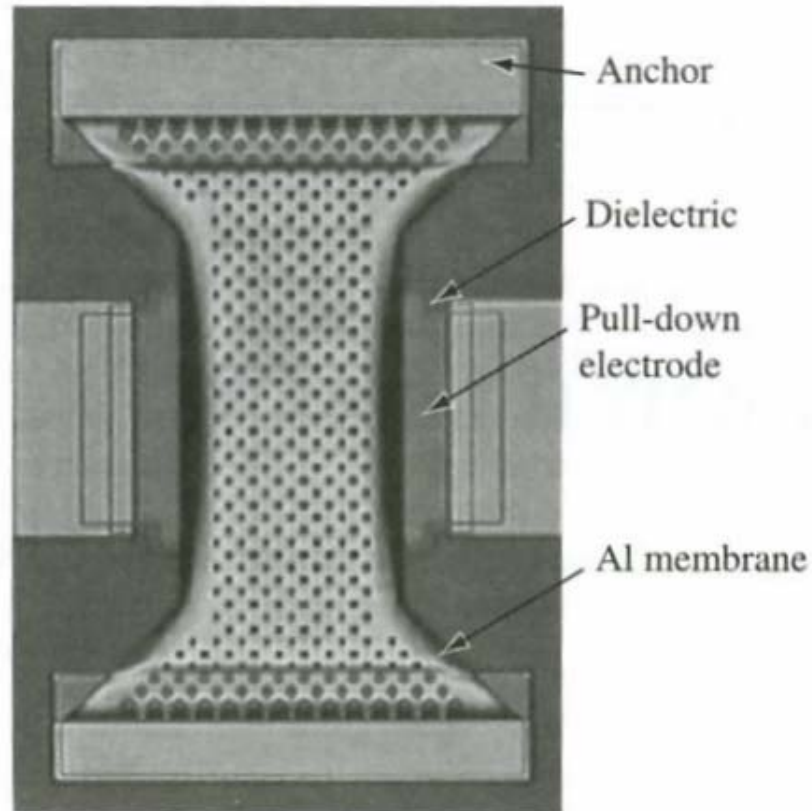
- Svitsjehastigheten er avhengig av **dempingen**
  - Luft, gass må skyves vekk
  - **”squeezed-film damping”**
  - Modelleringsmetoder fra væske-mekanikk
- Hvordan redusere demping?
  - Operere i vakuum
    - Hermetisk kapslede pakker
  - Lage hull i membran
    - Perforert membran

# Perforated membrane: UMICH



**Figure 5.2.** Photomicrograph of the university of Michigan low-voltage MEMS shunt switch. The number of meanders can be varied from 1 to 8 [7] (Copyright IEEE).

# Perforated membrane: Raytheon



**Figure 5.1.** Photomicrograph of Raytheon MEMS capacitive shunt switch [2, 3] (Copyright IEEE).



# Eks. på effekt av perforering

→ Betydelig hastighetsøkning ved å benytte en perforert membran!

	No holes	With holes
<b>b</b>	<b><math>1.3 \times 10^{-3} \text{ Pa.s}</math></b>	<b><math>2.1 \times 10^{-6} \text{ Pa.s}</math></b>
<b><math>\tau_{\text{sdown}}</math></b>	<b><math>80 \mu\text{s}</math></b>	<b><math>10.5 \mu\text{s}</math></b>

S. Pacheco, L.Katehi, Chapter in 'RF Technologies for Low Power Wireless Communications', Wiley, 2001.

Z..

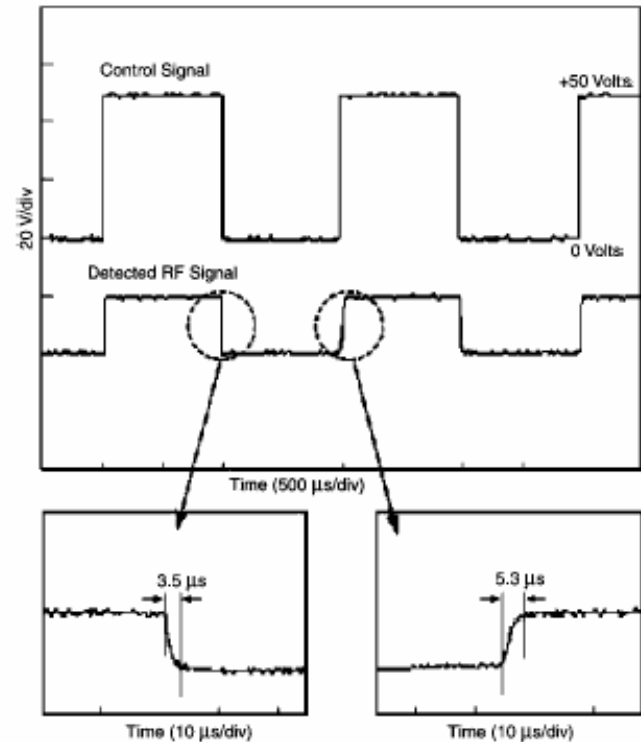


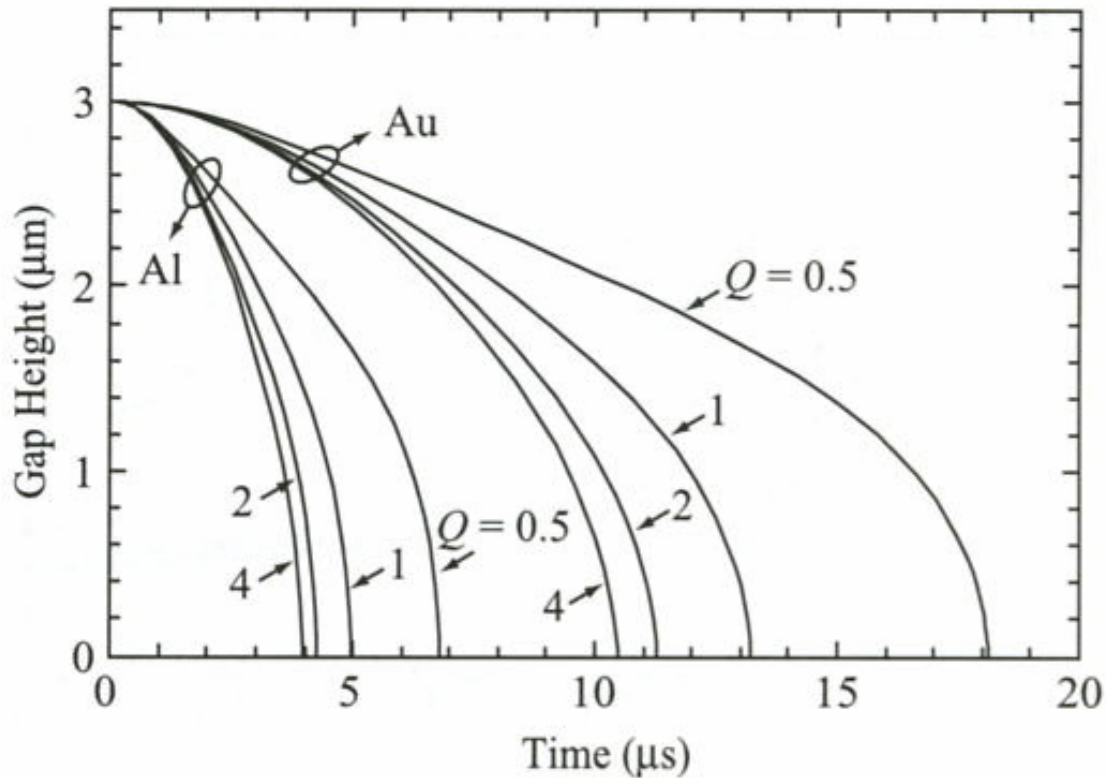
Figure 12. Switching time of the TI capacitive coupling shunt switch is of the order of 3.5–5.3  $\mu\text{s}$  (from [30], Raytheon/TI).

Svitsjetider for Raytheon/TI-svitsjen

# Svitsje-hastighet

- Dempningen påvirker Q-faktoren
- Svitsje-hastigheten avhenger sterkt av den Q-faktor en kan oppnå
  - Høy Q-faktor betyr liten demping
    - → økt svitsjehastighet
  - Lav Q-faktor betyr stor demping
    - Systemet er **dempings-begrenset** ved  $Q \leq 0.5$  [Castaner and Senturia]

# Tidsrespons for ulike Q-verdier



**Figure 3.3.** Pull-down simulations for the Au and Al beams of Table 3.1 for an applied voltage of 42 V ( $V_s = 1.4V_p$ ).

(Vedr. forskjell på Al og Au, se senere →)

# Gass-demping

Dynamisk respons til cantilever beam

$$m \frac{d^2 w}{dt^2} + b \frac{dw}{dt} + k \cdot w = F_{ext}$$

w = displacement

m = massen

b = dempekoeffisienten

k = fjærstivheten

$$\frac{W(j\omega)}{F(j\omega)} = \frac{1}{k} \frac{1}{1 - \left(\frac{\omega}{\omega_0}\right)^2 + j\omega / (Q \omega_0)}$$

$$\omega_0 = \sqrt{\frac{k}{m}} = \text{resonansfrekvens}$$

$$Q = \frac{k}{(\omega_0 b)} = \text{kvalitetsfaktor} \quad Q = (\omega_0 m) / b$$

# m ved gass-demping

- Q er avhengig av forholdet mellom **m, b, k**
  - m er **"effektiv masse"** ("dynamisk masse")
    - Den effektive massen er forskjellig fra total masse siden bare enden (eller den sentrale delen) av bjelken beveger seg
    - $m_{\text{eff}} \sim 0.35 - 0.45 * m_{\text{total}}$
    - $m_{\text{eff}}$  er avhengig bl.a. av
      - Topologi/ fysisk dimensjoner
      - Fjærkonstanten, materialvalget
      - Bevegelsesmønstret
  - Beregnes mer nøyaktig for "resonator" i senere forelesning

# b ved gass-demping

- Q avhenger av **b = dempekoeffisienten**
- Dempingen, b, avhenger av **viskositeten**
  - Viskositet er motstand gassen yter mot transport
- Eks.: uttrykk for demping av rektangulær parallell plate:

$$b = \frac{3}{2\pi} \cdot \frac{\mu \cdot A^2}{g_0^3}$$

$A$  = arealet                       $g_0$  = gapet

$\mu$  = viskositet til gassen

# Q ved gass-demping

Gass-dempingen påvirker Q-faktoren

**Kvantitative ligninger:**

$$Q = k / (\omega_0 b) \quad \rho = \text{tetthet}$$

$$Q_{\text{cantilever}} = \frac{\sqrt{E\rho} H^2}{\mu (WL)^2} g_0^3$$

$$Q_{cc} = \uparrow \quad W \cdot L \rightarrow \frac{W \cdot L}{2}$$

for clamped-clamped beam

# Svitsje-hastighet ved stor damping

Ved et **dempings-begrenset** system

$$(Q \leq 0.5)$$

Bevegelsesligningen

$$b \frac{dw}{dt} = F_{ext}$$

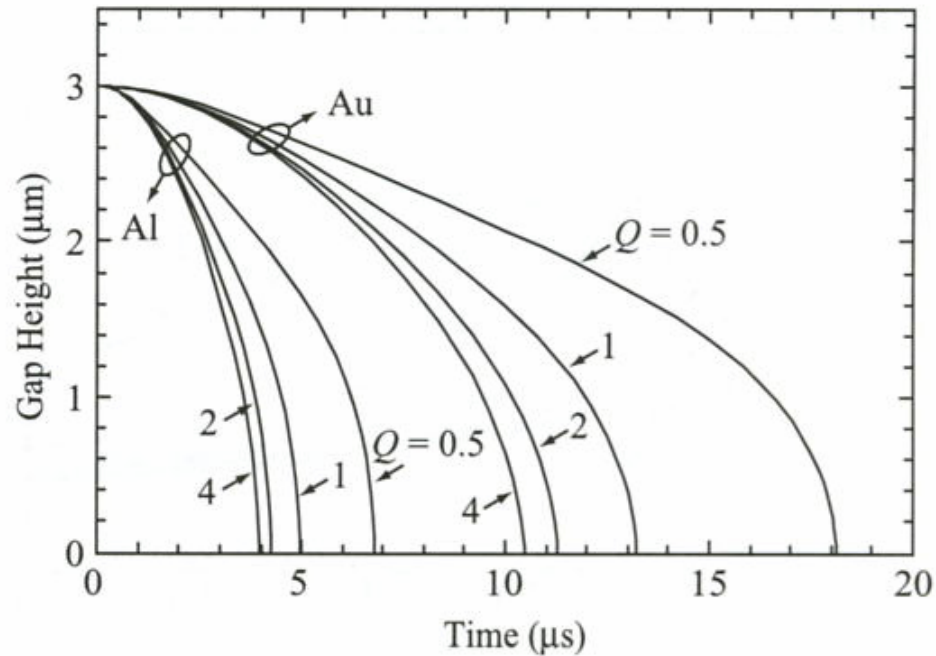
Et kvantitativt uttrykk:

$$t_s \approx \frac{9 V_{Pi}^2}{4 \omega_0 Q V_s^2} \quad \text{for } V_s \gg V_{Pi}$$

$V_s$  = aktiveringsspenningen



# Tidsrespons for ulike Q-verdier



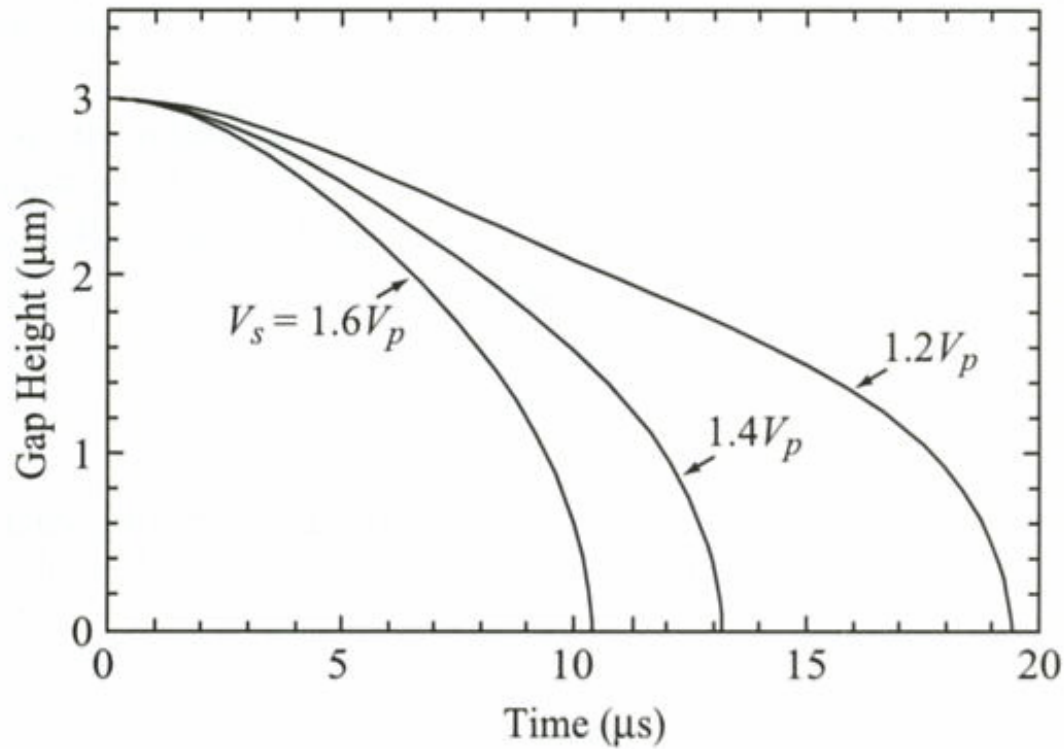
**Figure 3.3.** Pull-down simulations for the Au and Al beams of Table 3.1 for an applied voltage of 42 V ( $V_s = 1.4V_p$ ).

**Merk: Au har størst tetthet → størst masse → lavest  $\omega$  → høyest svitsjetid ( $t_s$ )**

# Svitsje-hastighet ved økt $V_s$

- Svitsje-hastigheten avhenger også sterkt av påtrykt spenning,  $V_s$ 
  - $V_s$  økes normalt ut over  $V_{pi}$
  - $V_s = \text{konst} * V_{pi}$  (pull-in) = ("aktiverings-spenning")
  - Jo høyere spenning, dess sterkere elektrostatisk kraft
    - → økt svitsjehastighet

# Tidsrespons mhp. påtrykt spenning



**Figure 3.4.** Pull-down simulations for the Au beam of Table 3.1 versus the applied voltage, and  $Q = 1$ .

# Svitsje-hastighet ved liten demping

Elektrostatisk kraft

$$F = \frac{\epsilon_0 A V^2}{2g^2}$$

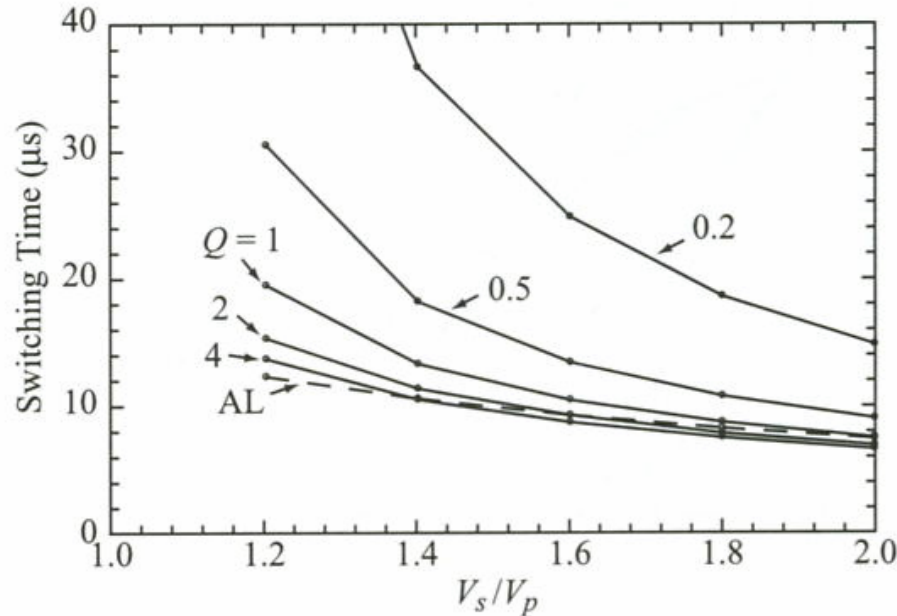
**Aksellerasjonsbegrenset** svitsj ( $b \sim 0$ )

$$m \frac{d^2 w}{dt^2} + k \cdot w = - \frac{\epsilon_0 A V^2}{2g_0^2} \quad (Q \geq 2)$$

Anvend spenning  $V_s = k_{\text{ant}} \times V_{Pi}$

Svitsje-tid  $t_s \approx 3,67 \frac{V_{Pi}}{V_s \cdot \omega_0}$

# Aksellerasjonsbegrenset svitsj



**Figure 3.5.** Simulated switching times for the Au beam given in Table 3.1. “AL” means acceleration-limited and is given by Eq. (3.23).

**Merk: Systemet blir mer og mer aksellerasjonsbegrenset etterhvert som dempingen minker (dvs. Q-faktoren øker). Høy  $V_s/V_p$  bedrer forholdet.**

# RF design av MEMS svitsj

- Kan utføres ved full **elektromagnetisk** modellering
  - 3 dim elektromagnetisk analyse av feltfordelinger
    - Detaljert mekanisk modell
    - Avhengig av materialegenskaper, grensebetingelser etc.
  - → Beregning av felt-distribusjoner og S-parametre
- Alternativt: bruk av **ekvivalente krets-modeller** →
  - Enkle modeller for håndkalkulering
    - Kan brukes til å beregne typiske RF ytelsesparametre

# Elektrisk karakterisering av RF MEMS svitsjer

- Ved "lave" frekvenser
  - Bruk impedans – admittans parametre
    - To-port med spenning og strøm (Kirchhoffs ligninger)
- Ved høye frekvenser
  - Bruk S-parametre
  - S-parametrene måles/beregnes når linjene er terminert med sin karakteristiske impedans
  - S-parametrene er småsignal-parametre
    - RF effekt < DC effekt

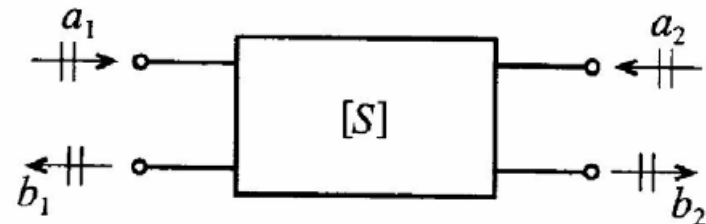
# Definisjon av S-parametrene

- Beregninger viser at effekten (power) blir:

$$P_n = \frac{1}{2} \operatorname{Re}\{V_n I_n^*\} = \frac{1}{2} (|a_n|^2 - |b_n|^2)$$

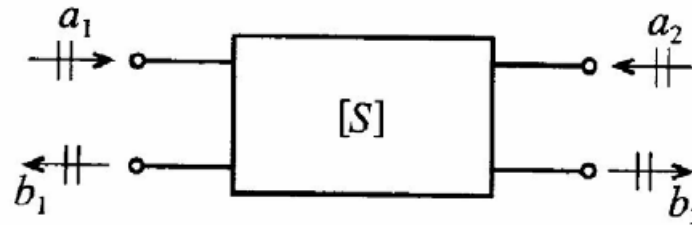
## S-parametre

$$\begin{Bmatrix} b_1 \\ b_2 \end{Bmatrix} = \begin{bmatrix} S_{11} & S_{12} \\ S_{21} & S_{22} \end{bmatrix} \begin{Bmatrix} a_1 \\ a_2 \end{Bmatrix}$$





# Hva hver enkelt S-parameter betyr



$$S_{11} = \left. \frac{b_1}{a_1} \right|_{a_2=0} \equiv \frac{\text{reflected power wave at port 1}}{\text{incident power wave at port 1}} \quad (4.42a)$$

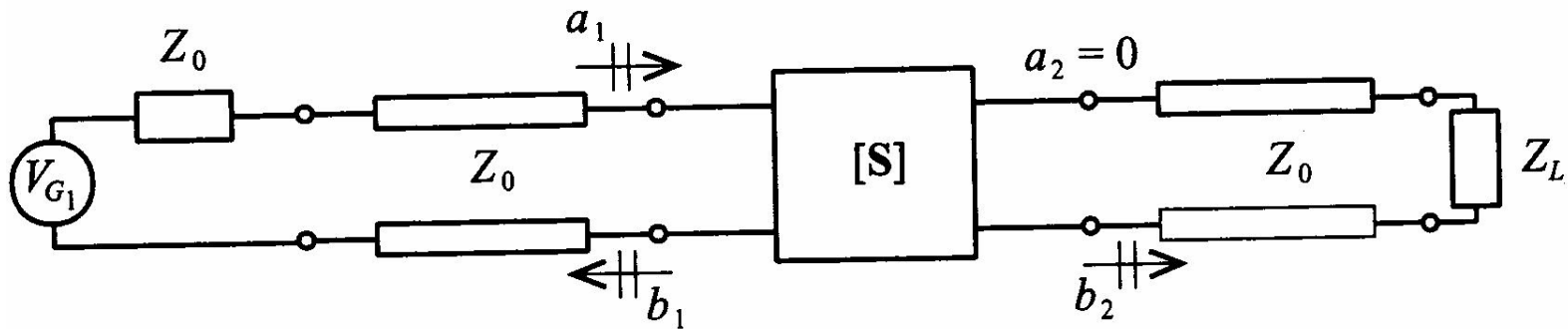
$$S_{21} = \left. \frac{b_2}{a_1} \right|_{a_2=0} \equiv \frac{\text{transmitted power wave at port 2}}{\text{incident power wave at port 1}} \quad (4.42b)$$

$$S_{22} = \left. \frac{b_2}{a_2} \right|_{a_1=0} \equiv \frac{\text{reflected power wave at port 2}}{\text{incident power wave at port 2}} \quad (4.42c)$$

$$S_{12} = \left. \frac{b_1}{a_2} \right|_{a_1=0} \equiv \frac{\text{transmitted power wave at port 1}}{\text{incident power wave at port 2}} \quad (4.42d)$$

# Måling av S-parametre

- S-parametrene måles når linjene er **terminert** med sin **karakteristiske impedans**



**Figure 4-15** Measurement of  $S_{11}$  and  $S_{21}$  by matching the line impedance  $Z_0$  at port 2 through a corresponding load impedance  $Z_L = Z_0$ .

# RF karakterisering

- Reflekterte og transmitterte signaler må tas i betraktning
- Sentrale parametre beregnes
  - **Insertion loss** i ON-state (**down**) =
  - **Isolation** i OFF-state (**up**) =
  - **Return loss** (**begge tilstander**) =

# RF karakterisering, forts.

”IL = Insertion loss” i ”on-state”

$$S_{21} = \frac{b_2}{a_1} \Big|_{a_2=0} = \frac{\textit{transmitted, port2}}{\textit{incident, port1}}$$

Den **inverse** verdien benyttes for å angi IL

Spesifiseres i dB

Degraderes med økende frekvens

# RF karakterisering, forts.

**”Isolation”** i ”off-state”

$$\frac{1}{S_{21}} = \frac{a_1}{b_2} \Big|_{a_2=0} = \frac{\text{incident, port1}}{\text{transmitted, port2}}$$

**(Varadan)**

$$\frac{1}{S_{12}} = \frac{a_2}{b_1} \Big|_{a_1=0} = \frac{\text{incident, port2}}{\text{transmitted, port1}}$$

**(mest vanlig def)**

→ Stor isolasjon når utgang er liten i forhold til inngangen  
(eller når inngangen påvirkes lite av utgangen)

**”Return loss”** i begge tilstander

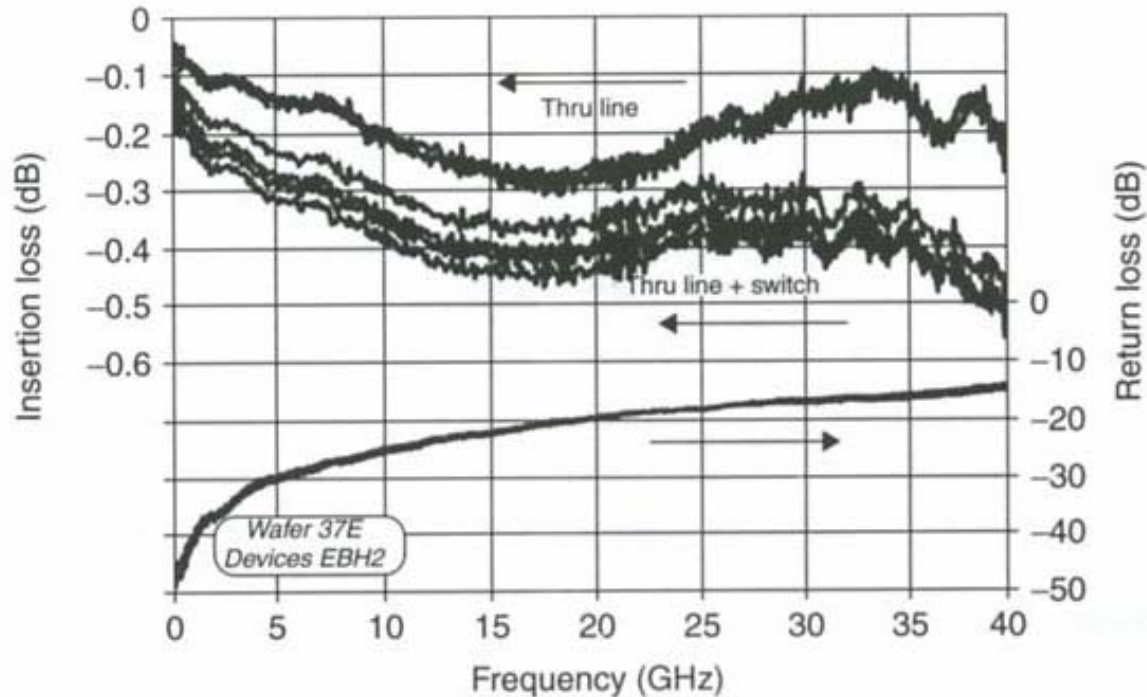
$$S_{11} = \frac{b_1}{a_1}$$

dvs. stort tap når mye reflekteres

# S-parameters

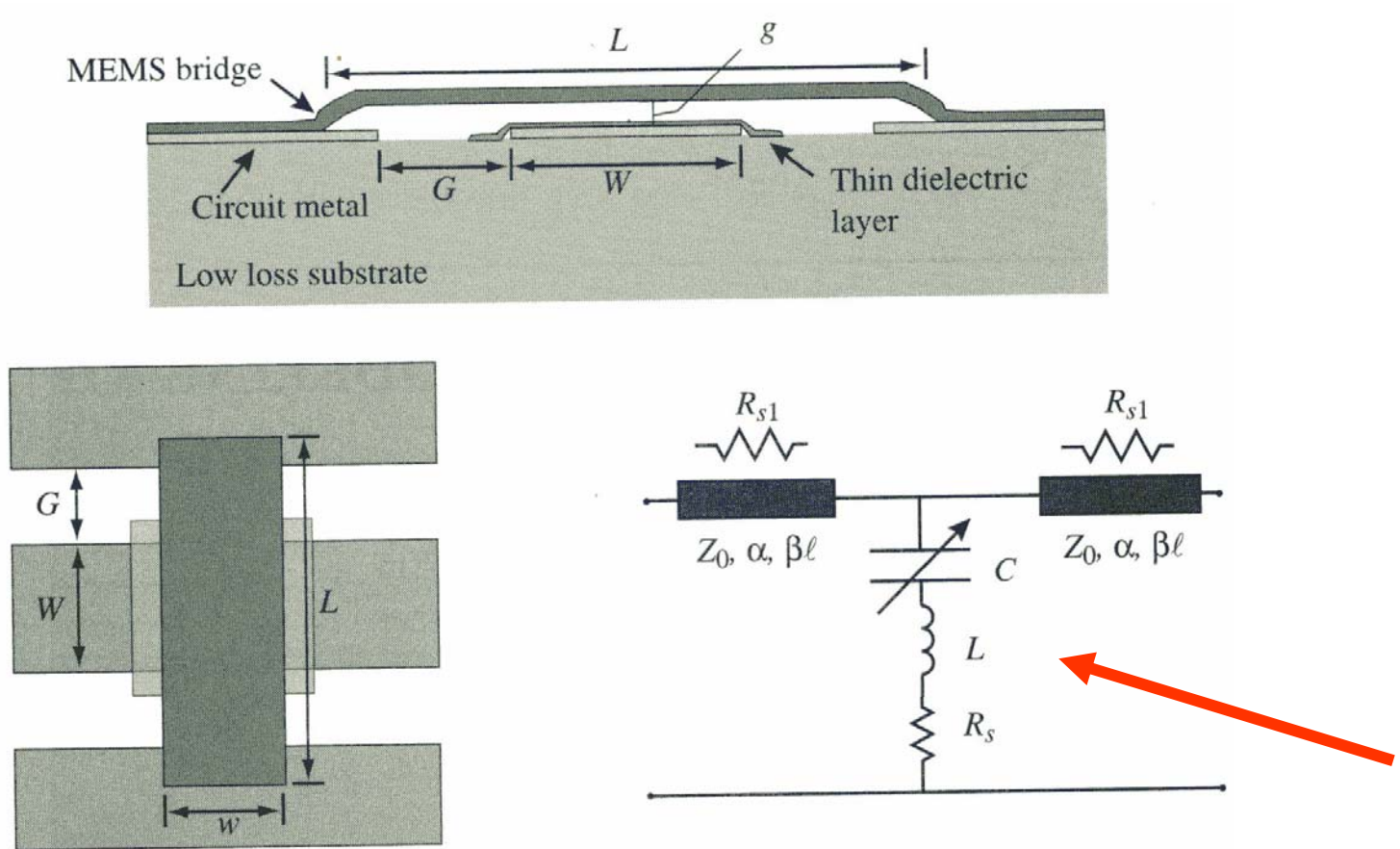
- In UP-state:  $S_{12}$  is corresponding to **isolation**
- In DOWN-state:  $S_{12}$  is corresponding to **insertion loss**
- In UP-state:  $S_{11}$  is corresponding to **return loss**
- In DOWN-state:  $S_{11}$  is corresponding to **return loss**

# Typiske parameter-målinger



**Figure 3.25** Measured insertion loss and return loss RF MEMS switch. Reproduced from C.L. Goldsmith, Z. Yao, S. Eshelman and D. Denniston, 1998, 'Performance of low-loss MEMS capacitive switches', *IEEE MW and Guided wave Letters* 8(8): 269–271, by permission of IEEE, © 1998 IEEE

# Ekvivalent-krets for kapasitiv shunt svitsj



**Figure 4.1.** Illustration of a typical MEMS shunt switch shown in cross section and plan view. The equivalent circuit is also shown [6] (Copyright IEEE).



# Ekvivalent-krets, forts.

Svitsj shunt impedans

$$Z_s = R_s + j\omega L + \frac{1}{j\omega C}$$

$$C = C_u \text{ eller } C_d$$

Ved resonans

$$\omega_0 L = \frac{1}{\omega_0 C}$$

$$\omega_0 = \sqrt{\frac{1}{LC}}$$

$$Z_s = \begin{array}{lll} \frac{1}{j\omega C} & \text{for} & f \ll f_0 \\ R_s & \text{"} & f = f_0 \\ j\omega L & \text{"} & f \gg f_0 \end{array}$$

# RF parasitter

- Forenklete beregninger av shunt svitsj:
  - Benytte kun C
- Mer nøyaktige beregninger:
  - Inkludere L
  - **Meander-oppheng** bidrar til parasitter
  - Meandere gjør fjæropphenget **mykere**
    - Flere "grener" gir lavere  $V_{pi}$
  - → men fører til **parasitt induktans**
    - → påvirker RF-ytelsen
- Nøyaktig modellering må ta hensyn til parasitt-induktans og parasitt-resistans

# Parasitt induktans

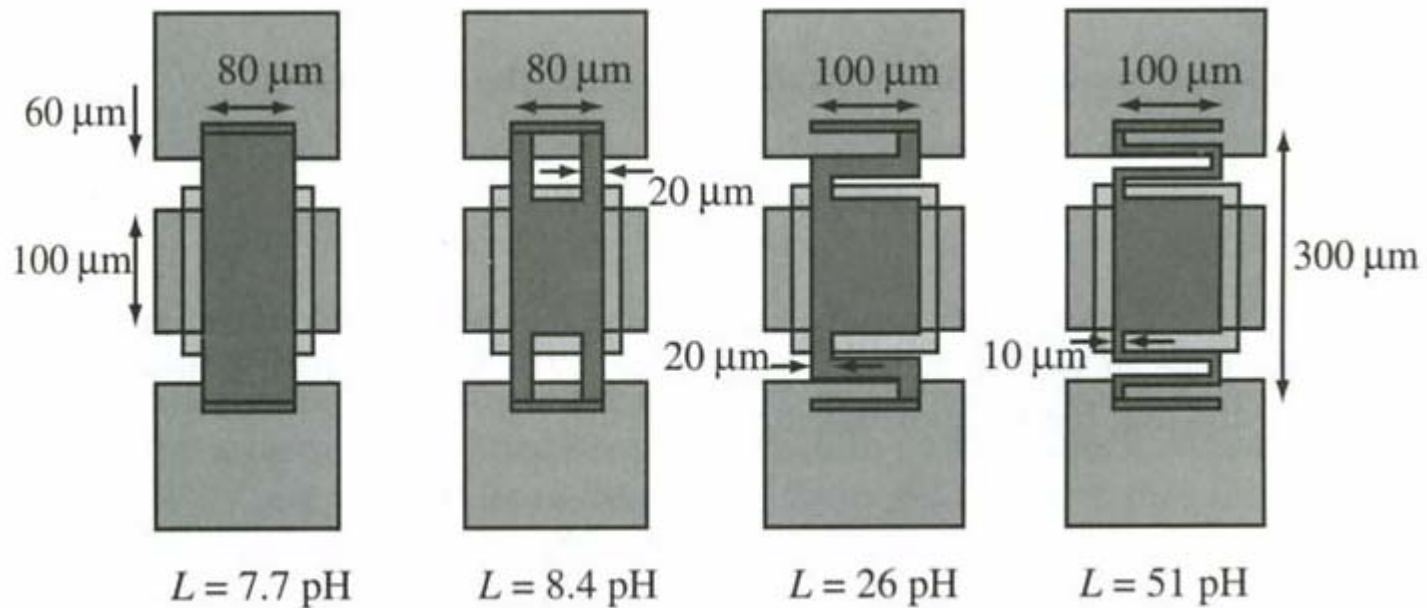
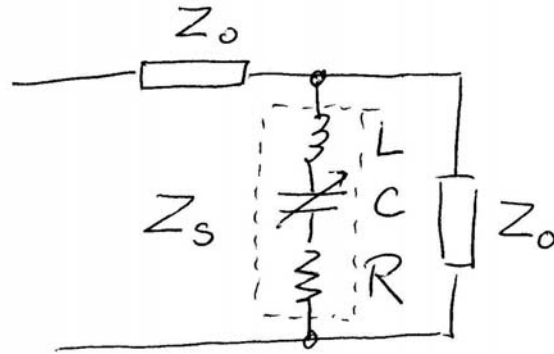


Figure 4.4. Simulated inductance for low-spring-constant MEMS bridges.

**Meander-opphenget gir "spole"-virkning**

# Shunt configuration



$$Z_s = R + j\omega L + \frac{1}{j\omega C}$$

$$S_{11} = S_{22} = \Gamma = \frac{Z_L - Z_0}{Z_L + Z_0} = \frac{Z_s // Z_0 - Z_0}{Z_s // Z_0 + Z_0} = \frac{-Z_0}{2Z_s + Z_0}$$

$$S_{12} = S_{21} = 1 + \Gamma = 1 + \frac{-Z_0}{2Z_s + Z_0} = \frac{2Z_s}{2Z_s + Z_0}$$

## Shunt switch

Return loss (up-state)

$$Z_s \approx \frac{1}{j\omega C}$$

$$S_{11} = \frac{-Z_0}{2Z_s + Z_0} = \frac{-Z_0}{2 \cdot \frac{1}{j\omega C} + Z_0} = \frac{-j\omega C Z_0}{2 + j\omega C Z_0}$$

$$|S_{11}|^2 = S_{11} \cdot S_{11}^* = \frac{(\omega C Z_0)^2}{4 + (\omega C Z_0)^2}$$

Return loss (down-state)

$$Z_s = R + j\omega L + \frac{1}{j\omega C}$$

$$S_{11} = \frac{-Z_0}{2Z_s + Z_0} = \frac{-Z_0}{2\left(R + j\omega L + \frac{1}{j\omega C}\right) + Z_0} = \frac{-j\omega C Z_0}{(2 - 2\omega^2 LC) + j\omega(2R + CZ_0)}$$

$$|S_{11}|^2 = S_{11} \cdot S_{11}^* = \frac{(\omega C Z_0)^2}{(2 - 2\omega^2 LC)^2 + (2\omega R + \omega C Z_0)^2}$$

## Shunt switch

### insertion loss (down-state)

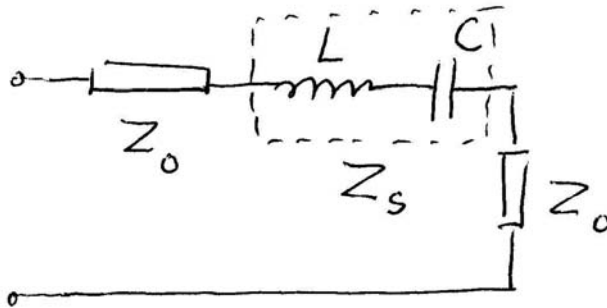
$$S_{12} = S_{21} = \frac{2Z_s}{2Z_s + Z_0} = \frac{2\left(R + j\omega L + \frac{1}{j\omega C}\right)}{2\left(R + j\omega L + \frac{1}{j\omega C}\right) + Z_0}$$

$$= \frac{(2 - 2\omega^2 LC) + j2\omega RC}{(2 - 2\omega^2 LC) + j(2\omega RC + \omega CZ_0)}$$

$$|S_{12}|^2 = |S_{21}|^2 = S_{21}^* S_{21} = \frac{(2 - 2\omega^2 LC)^2 + (2\omega RC)^2}{(2 - 2\omega^2 LC)^2 + (2\omega RC + \omega CZ_0)^2}$$

## Series contact cantilever switch

OFF (up-state)



$$Z_s = j\omega L + \frac{1}{j\omega C}$$

$$S_{11} = S_{22} = \Gamma = \frac{Z_L - Z_0}{Z_L + Z_0} = \frac{(Z_s + Z_0) - Z_0}{(Z_s + Z_0) + Z_0} = \frac{Z_s}{2Z_0 + Z_s}$$

$$S_{12} = S_{21} = 1 - \Gamma = 1 - \frac{Z_s}{2Z_0 + Z_s} = \frac{2Z_0}{2Z_0 + Z_s}$$

## Series switch

### Return loss (up-state)

$$S_{11} = S_{22} = \frac{Z_s}{2Z_0 + Z_s} = \frac{j\omega L + \frac{1}{j\omega C}}{2Z_0 + (j\omega L + \frac{1}{j\omega C})} = \frac{1 - \omega^2 LC}{(1 - \omega^2 LC) + j2\omega CZ_0}$$

$$|S_{11}|^2 = S_{11} S_{11}^* = \frac{(1 - \omega^2 LC)^2}{(1 - \omega^2 LC)^2 + (2\omega CZ_0)^2} \underset{\substack{\uparrow \\ L=0}}{=} \frac{1}{1 + (2\omega CZ_0)^2}$$

### Isolation (up-state)

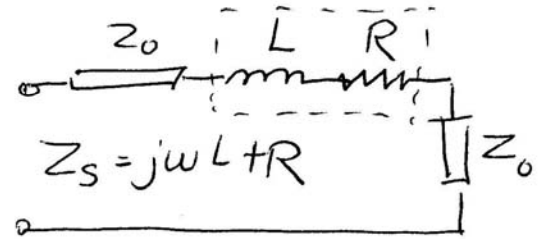
$$S_{12} = S_{21} = \frac{2Z_0}{2Z_0 + Z_s} = \frac{2Z_0}{2Z_0 + (j\omega L + \frac{1}{j\omega C})} = \frac{j2\omega CZ_0}{(1 - \omega^2 LC) + j2\omega CZ_0}$$

$$|S_{12}|^2 = S_{12} S_{12}^* = \frac{(2\omega CZ_0)^2}{(1 - \omega^2 LC)^2 + (2\omega CZ_0)^2} \underset{\substack{\uparrow \\ L=0}}{=} \frac{(2\omega CZ_0)^2}{1 + (2\omega CZ_0)^2}$$



## Series switch

Return loss (down-state)



$$S_{11} = \frac{Z_s}{2Z_0 + Z_s} = \frac{j\omega L + R}{2Z_0 + j\omega L + R}$$

$$|S_{11}|^2 = S_{11} \cdot S_{11}^* = \frac{R^2 + (\omega L)^2}{(2Z_0 + R)^2 + (\omega L)^2} = \frac{R^2}{(2Z_0 + R)^2}$$

$\uparrow$   
 $L=0$

insertion loss (down-state)

$$S_{12} = \frac{2Z_0}{2Z_0 + Z_s} = \frac{2Z_0}{2Z_0 + j\omega L + R}$$

$$|S_{12}|^2 = S_{12} \cdot S_{12}^* = \frac{(2Z_0)^2}{(2Z_0 + R)^2 + (\omega L)^2} = \frac{2Z_0^2}{(2Z_0 + R)^2}$$

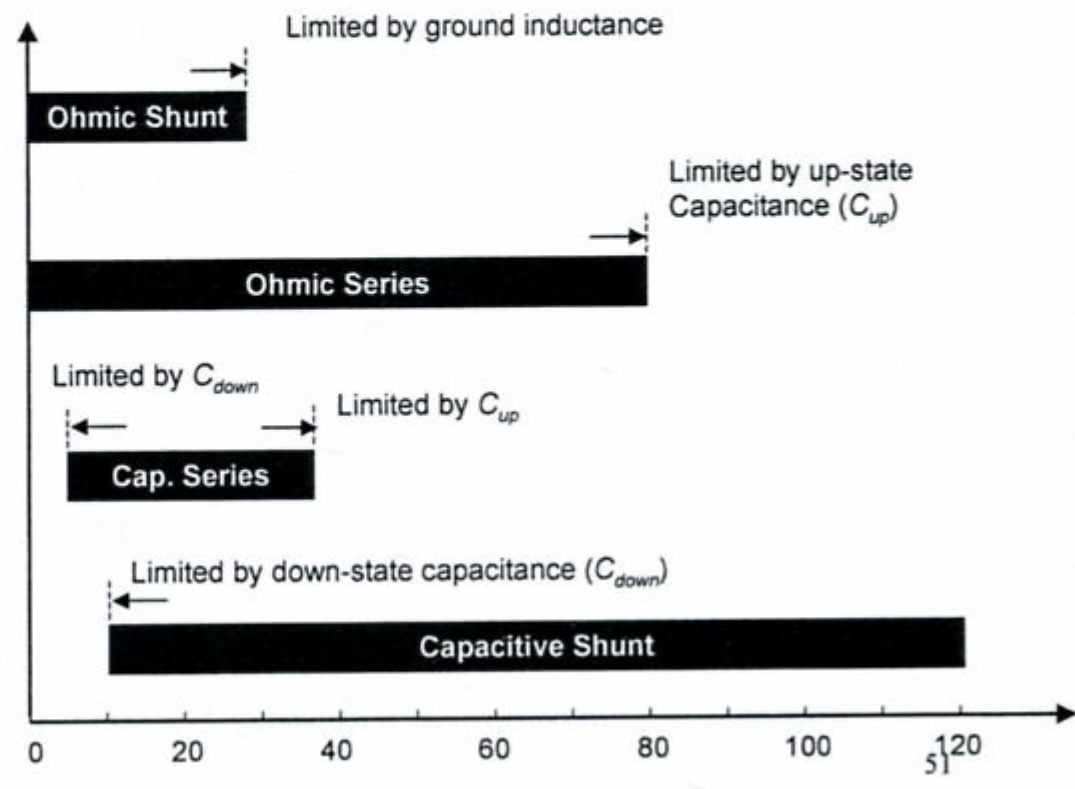
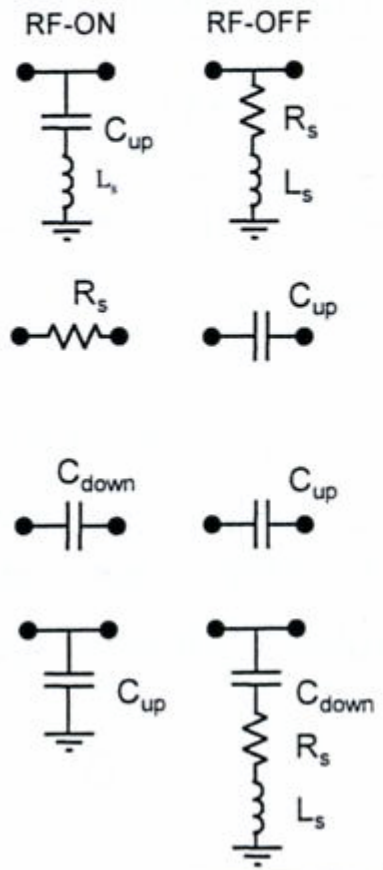
$\uparrow$   
 $L=0$



# RF MEMS switch vs. frequency

G. Rebeiz, "Short course on RF-MEMS", Dec. 2003  
H. Tilmans, Microwave week, 2004.

Equivalent circuit



# Eksempler på implementasjoner

- **Serie-svitsjer**

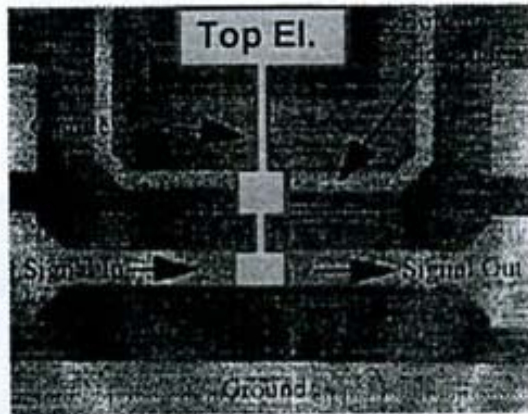
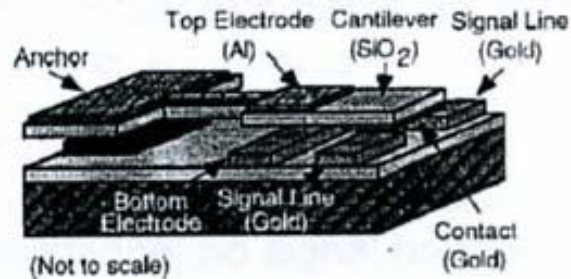
- Struktur

- Fremstilling

- Ytelse

- Eks. på **kontakt-svitsjer** →

# Cantilever beam med elektrostatisk aktivering



J.J. Yao, M.F. Chang, Solid-State Sensors and Actuators, 1995 and Eurosensors IX, Transducers '95.

## Switch architecture:

- suspended SiO<sub>2</sub> cantilever arm
- platinum-to-gold electrical contact
- electrostatic actuation

## Performance:

- DC to RF range of frequency
- $R_{DC}=0.22\Omega$
- Pull in voltage=28V, max current=200mA
- speed: 30 $\mu$ s
- -50dB isolation and 0.1dB insertion loss @ 4GHz
- monolithic integration with IC because of the low temperature budget of the process

# Rockwell serie-svitsj

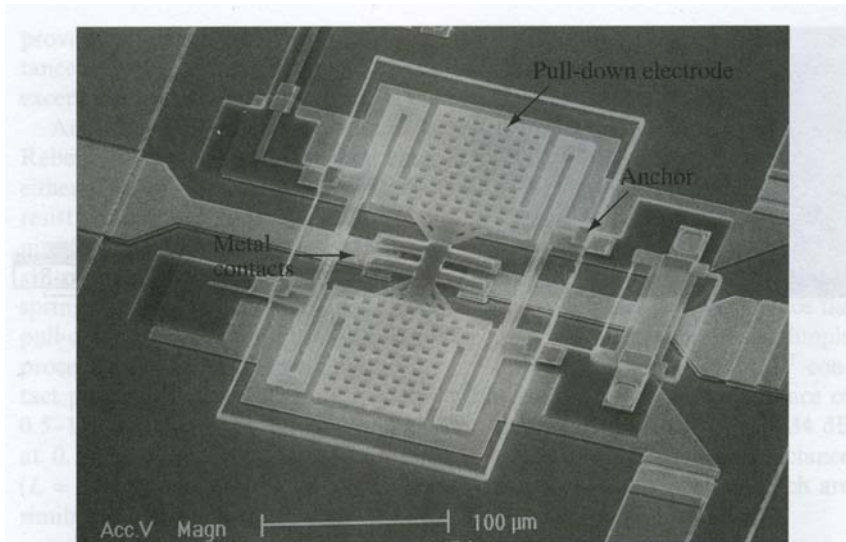


Figure 5.8. SEM of the Rockwell Scientific MEMS series switch [24] (Copyright IEEE).

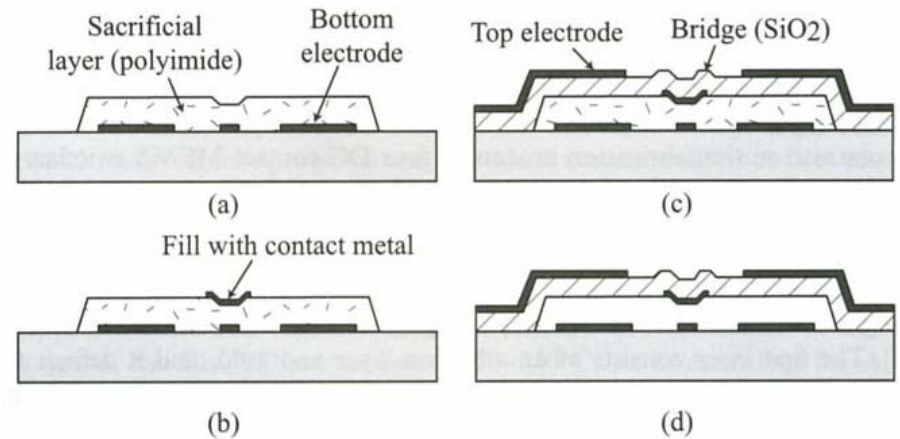


Figure 6.6. The fabrication process of the Rockwell Scientific series switch [8, 9].

**Prinsipiell skisse**

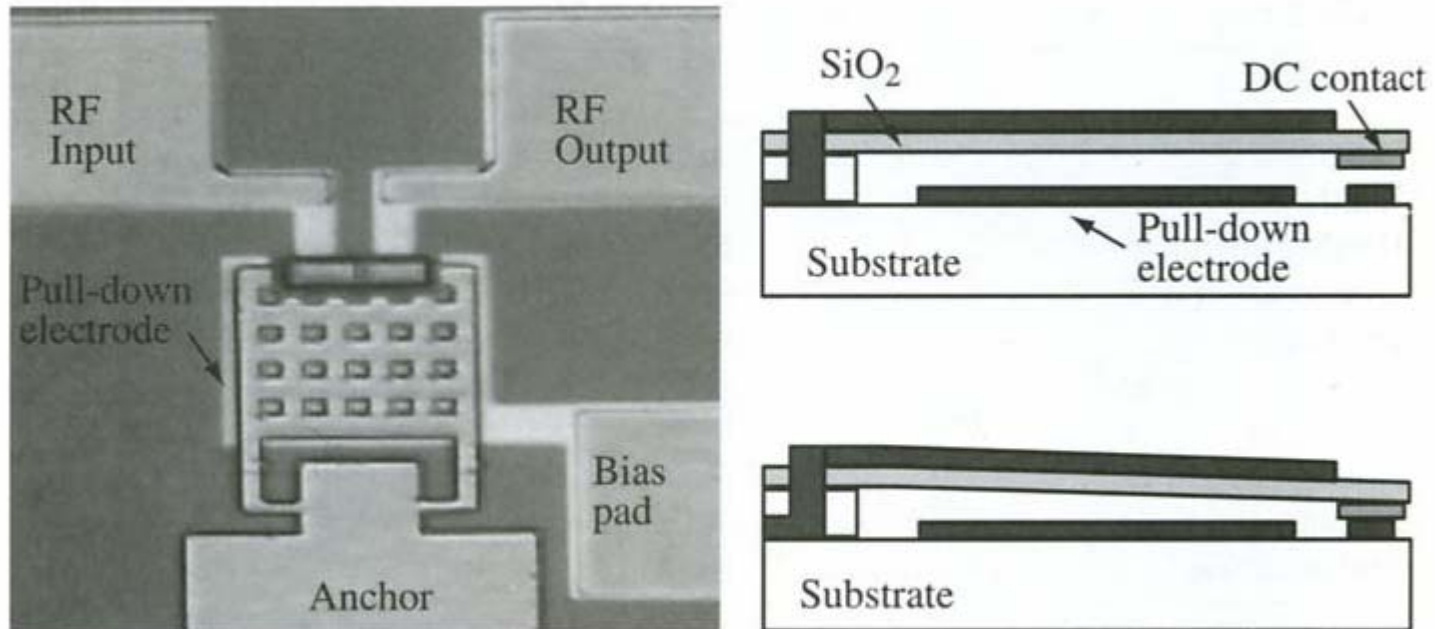
# Rockwell serie-svitsj, forts.

**TABLE 5.6. Parameters for the Rockwell Scientific DC-Contact MEMS Series Switch**

Parameter	Value	Parameter	Value
Length [ $\mu\text{m}$ ]	250	Actuation area [ $\mu\text{m}^2$ ]	$75 \times 75 (\times 2)$
Width [ $\mu\text{m}$ ]	150	Actuation voltage [V]	50–60
Height [ $\mu\text{m}$ ]	2–2.5	Switch time [ $\mu\text{s}$ ]	8–10
Cantilever type	Oxide, Au	Switch resistance [ $\Omega$ ]	0.8–2
Thickness [ $\mu\text{m}$ ]	2, 0.25	$C_u$ [fF]	1.75–2
Residual stress [MPa]	Low	Inductance [pH]	40–60
Spring constant [N/m]	15	Isolation [dB]	–50 (4 GHz)
Holes in cantilever	Yes	Isolation [dB]	–30 (40 GHz)
Sacrificial layer	Polyimide	Isolation [dB]	–20 (90 GHz)
Bridge release	Plasma etch	Loss [dB]	–0.1 (0.1–50 GHz)



# Motorola



**Figure 5.9.** Photomicrograph of the Motorola DC-contact MEMS series switch and cross sections in the up- and down-state positions (Copyright IEEE).

# Motorola, forts.

**TABLE 5.7. Parameters for the Motorola DC-Contact MEMS Series Switch**

Parameter	Value	Parameter	Value
Length [ $\mu\text{m}$ ]	140	Actuation area [ $\mu\text{m}^2$ ]	$100 \times 80$
Width [ $\mu\text{m}$ ]	100	Actuation voltage [V]	40–60
Height [ $\mu\text{m}$ ]	2–3	Switch time [ $\mu\text{s}$ ]	2–4
Cantilever type	Oxide, Au	Switch resistance, $R_s$ [ $\Omega$ ]	1–2
Thickness [ $\mu\text{m}$ ]	1.3, 0.3	$C_u$ [fF]	2
Residual stress [MPa]	Low	Inductance [pH]	20
Spring constant [N/m]	35–40	Isolation [dB]	–44 (2–4 GHz)
Holes in cantilever	Yes (8 $\mu\text{m}$ )	Loss [dB]	–0.15 (0.1–6 GHz)
Sacrificial layer	Polyimide		
Bridge release	Plasma etch		



# Lincoln

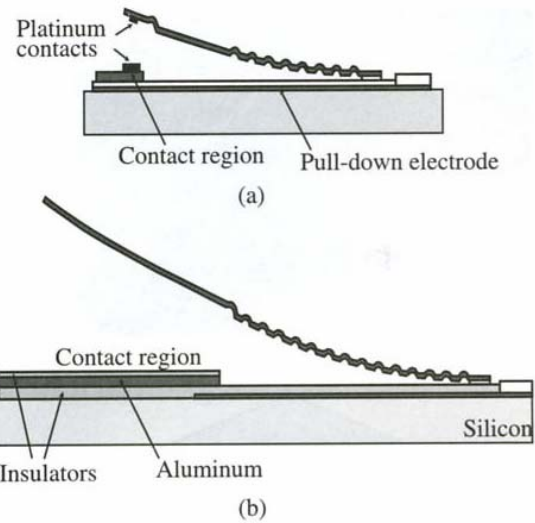
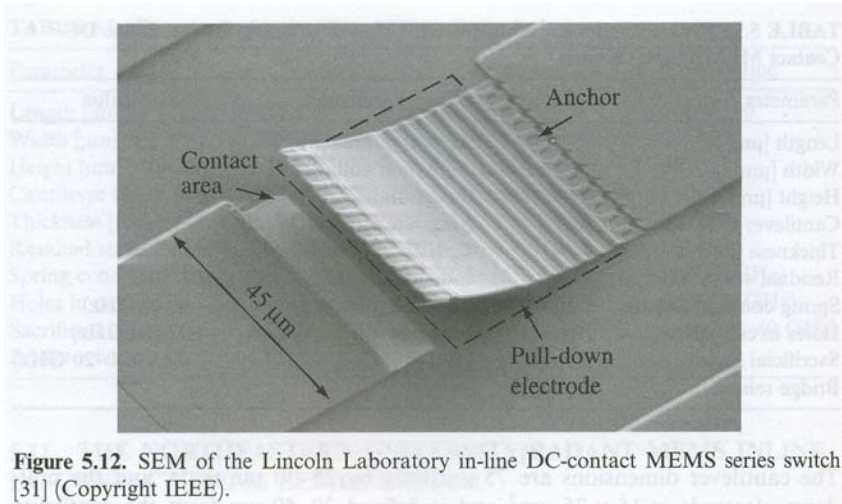


Figure 5.13. Cross section of the DC-contact (a) and capacitive-contact (b) Lincoln Laboratory inline switch (Copyright IEEE).

# Lincoln, forts.

**TABLE 5.10. Parameters for the Lincoln Laboratories Inline MEMS Series Switch**

Parameter	Value	Parameter	Value
Length <sup>a</sup> [ $\mu\text{m}$ ]	55/200	Actuation area [ $\mu\text{m}^2$ ]	$45 \times 50$
Width [ $\mu\text{m}$ ]	50	Actuation voltage <sup>b</sup> [V]	30–80
Height [ $\mu\text{m}$ ]	2–15	Switch time <sup>b</sup> [ $\mu\text{s}$ ]	1–20
Cantilever type	Oxide, Al, oxide	Switch resistance, $R_s$ [ $\Omega$ ]	1–2
Thickness [ $\mu\text{m}$ ]	0.2, 0.5, 0.2	$C_u$ [fF]	4–6
Residual stress	Very high	Inductance [pH]	Negligible
Holes in cantilever	No	Isolation [dB]	–40 (4 GHz)
Sacrificial layer	Polyimide	Isolation [dB]	–22 (30 GHz)
Bridge release	Freeze Drying	Loss [dB]	–0.15 (0.1–40 GHz)
Dielectric <sup>c</sup> ( $\text{\AA}$ )	$\text{SiO}_2$ (1000)		

<sup>a</sup>Capacitive switch: 200  $\mu\text{m}$ . DC-contact switch: 55  $\mu\text{m}$ .

<sup>b</sup>Capacitive switch: 30–40 V and 20  $\mu\text{s}$ ; DC-contact switch: 60–80 V and <1  $\mu\text{s}$ .

<sup>c</sup>Above pull-down electrode only.

# Eksempler på implementasjoner

- **Shunt-svitsjer**

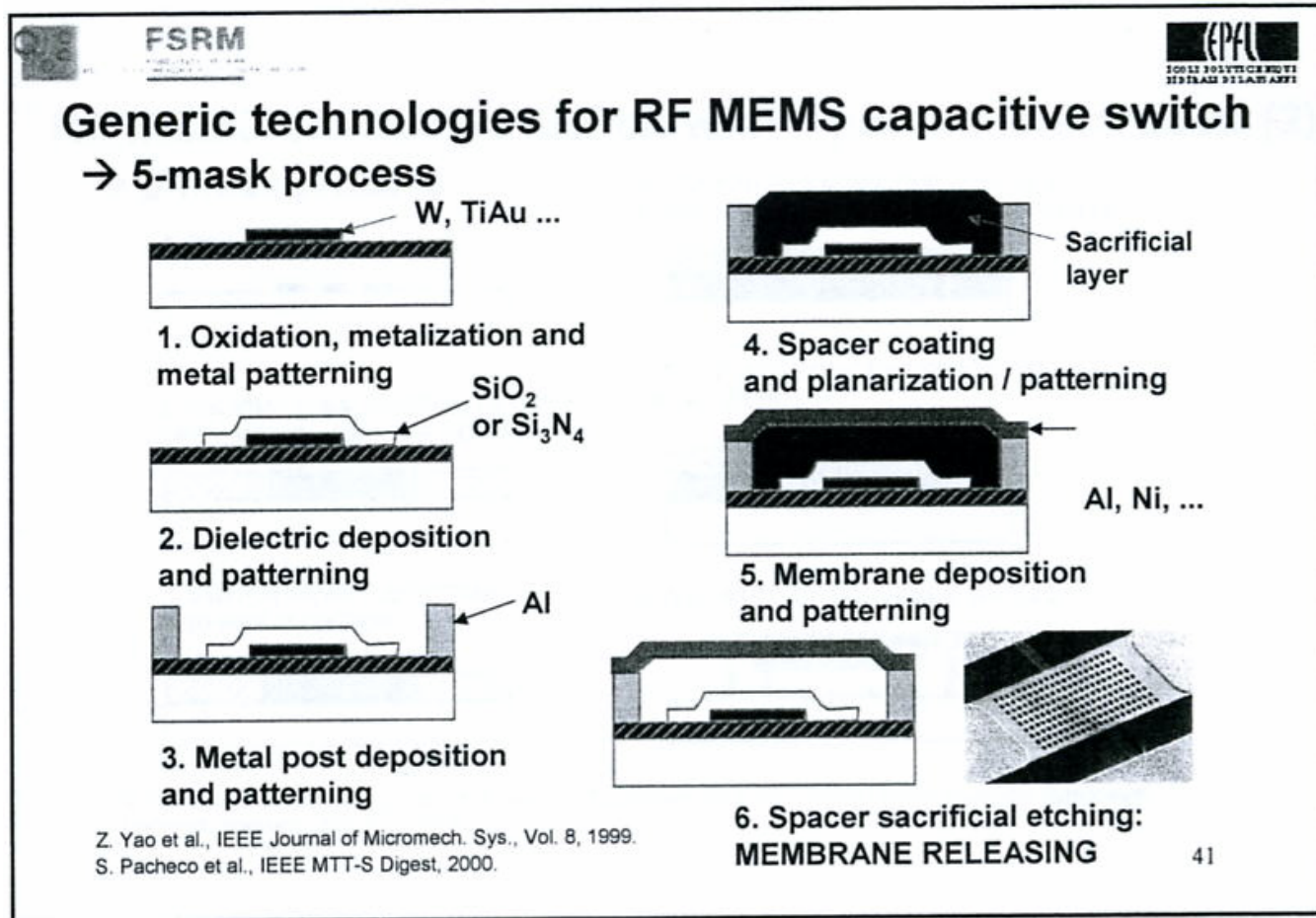
- Struktur

- Fremstilling

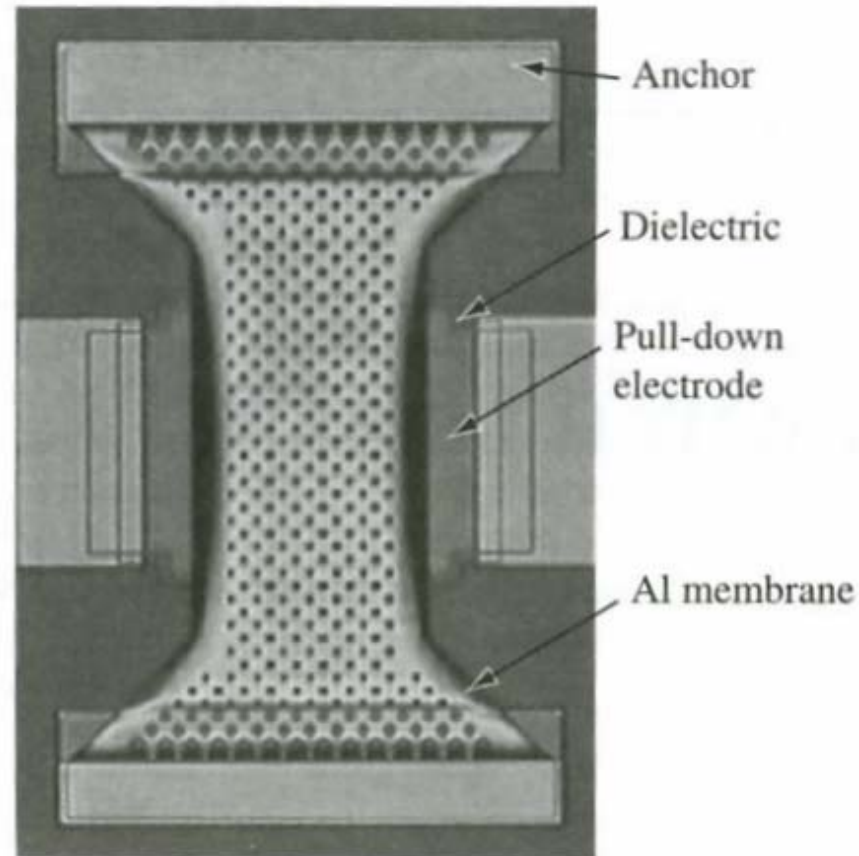
- Ytelse

- Eks. på kapasitive **shunt-svitsjer** →

# Fremstilling av kapasitiv svitsj



# Raytheon



**Figure 5.1.** Photomicrograph of Raytheon MEMS capacitive shunt switch [2, 3] (Copyright IEEE).

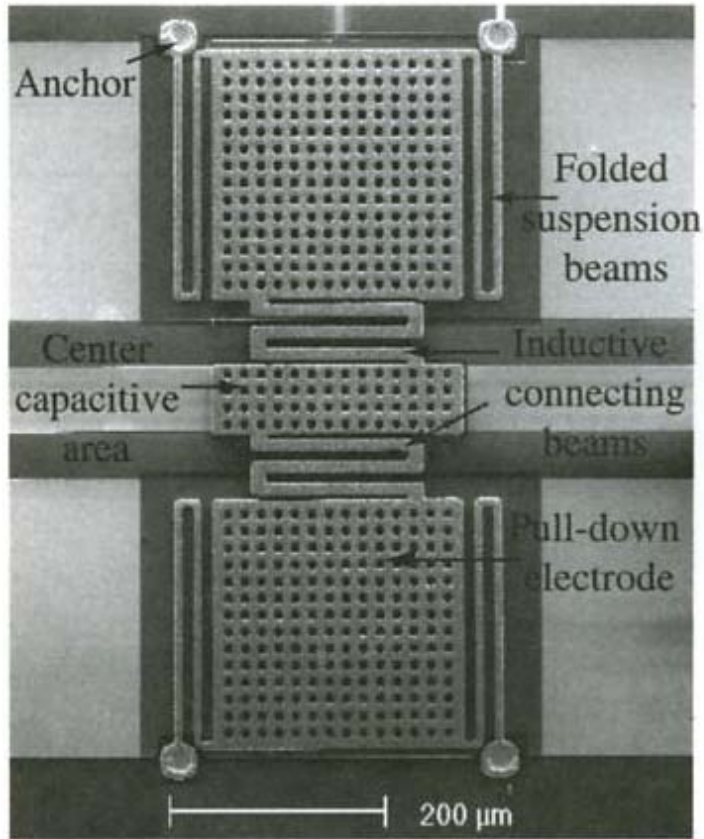
# Raytheon, forts.

**TABLE 5.1. Parameters for the Raytheon Capacitive MEMS Shunt Switch**

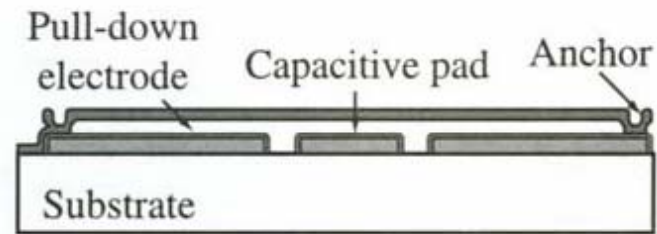
Parameter	Value	Parameter	Value
Length [ $\mu\text{m}$ ]	270–350	Actuation area [ $\mu\text{m}^2$ ]	$80 \times 100$
Width [ $\mu\text{m}$ ]	50–200	Actuation voltage [V]	30–50
Height [ $\mu\text{m}$ ]	3–5	Switch time [ $\mu\text{s}$ ]	3/5 (D/U)
Membrane type	Aluminum	$C_d$ [pF]	1–6
Thickness [ $\mu\text{m}$ ]	0.5	Capacitive ratio	80–120
Residual stress [MPa]	10–20	Inductance [pH]	5–10
Spring constant [Nm]	6–20	Resistance [ $\Omega$ ]	0.25–0.35
Holes [ $\mu\text{m}$ ]	Yes (3–5)	Isolation [dB]	–20 (10 GHz)
Sacrificial layer	Polyimide	Isolation [dB]	–35 (30 GHz)
Bridge release	Plasma etch	Intermodulation	+66 dBm
Dielectric ( $\text{\AA}$ )	$\text{Si}_3\text{N}_4$ (1000)	Loss [dB]	–0.07 (10–40 GHz)



# Univ of Michigan



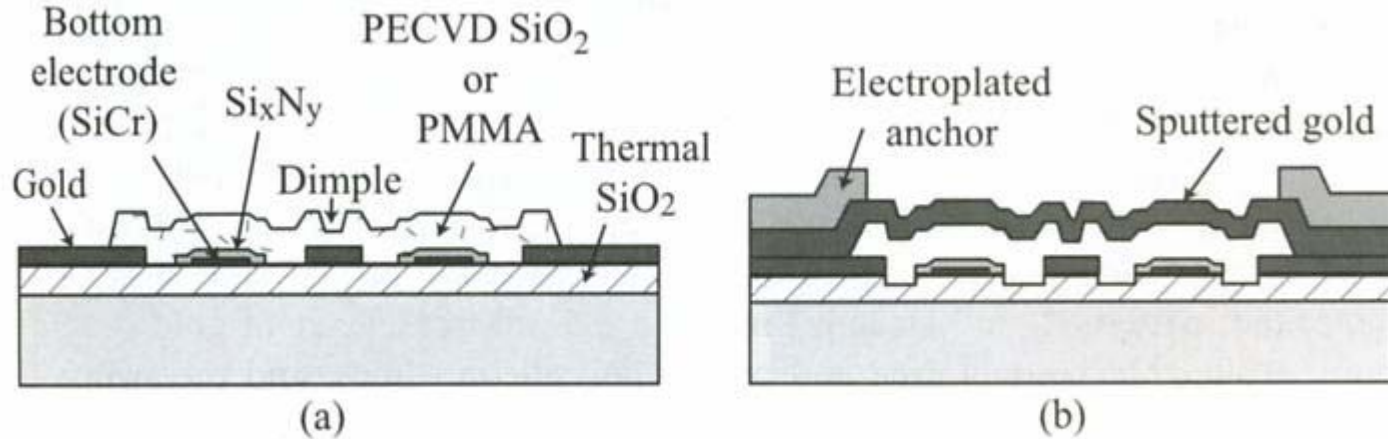
(a)



(b)

**Figure 5.2.** Photomicrograph of the university of Michigan low-voltage MEMS shunt switch. The number of meanders can be varied from 1 to 8 [7] (Copyright IEEE).

# Fremstilling, "Michigan switch"



**Figure 6.7.** The fabrication process of the Michigan all-metal series switch [10, 11] (Copyright IEEE).



# Univ of Michigan

**TABLE 5.2. Parameters for the University of Michigan Low-Voltage MEMS Capacitive Shunt Switch**

Parameter	Value	Parameter	Value
Length [ $\mu\text{m}$ ]	500–700	Actuation area [ $\mu\text{m}^2$ ]	$200 \times 200 (\times 2)$
Width [ $\mu\text{m}$ ]	200–250	Actuation voltage <sup>a</sup> [V]	6–20
Height [ $\mu\text{m}$ ]	4–5	Switch time <sup>a</sup> [ $\mu\text{s}$ ]	20–40 (D)
Membrane type	Nickel	$C_d$ [pF]	1–3
Thickness [ $\mu\text{m}$ ]	2–2.5	Capacitive ratio	30–50
Residual stress [MPa]	20–100	Inductance [pH]	1–2
Spring constant [N/m]	1–10	Resistance [ $\Omega$ ]	0.2–0.3
Holes [ $\mu\text{m}$ ]	Yes (10)	Isolation [dB]	–25 (30 GHz)
Sacrificial layer	Polyimide	Intermodulation	N/A
Bridge release	Plasma etch	Loss [dB]	–0.1 (1–40 GHz)
Dielectric ( $\text{\AA}$ )	$\text{Si}_3\text{N}_4$ (1000–1500)		

<sup>a</sup>Depends on number of meander support.

# Spesielle svitsje-strukturer

- 3 elektroder kan også brukes
  - Topp-elektroden brukes for å "clampe" den aktive elektroden til toppen
  - Spesielt viktig for systemer utsatt for høye aksellerasjoner

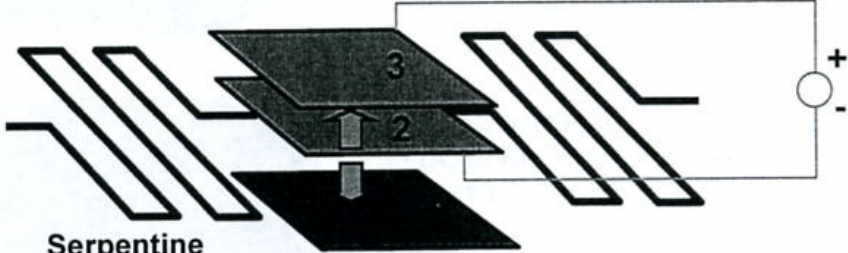
FSRM

EPFL

## RF MEMS capacitive switch with 3 parallel electrodes (1)

→ Architecture with 3<sup>rd</sup> electrode: avoid switch movements in acceleration gradients (airborne systems, > 10g!)

→ 2<sup>nd</sup> bias used to clamp the 'active' electrode to the top



Serpentine spring

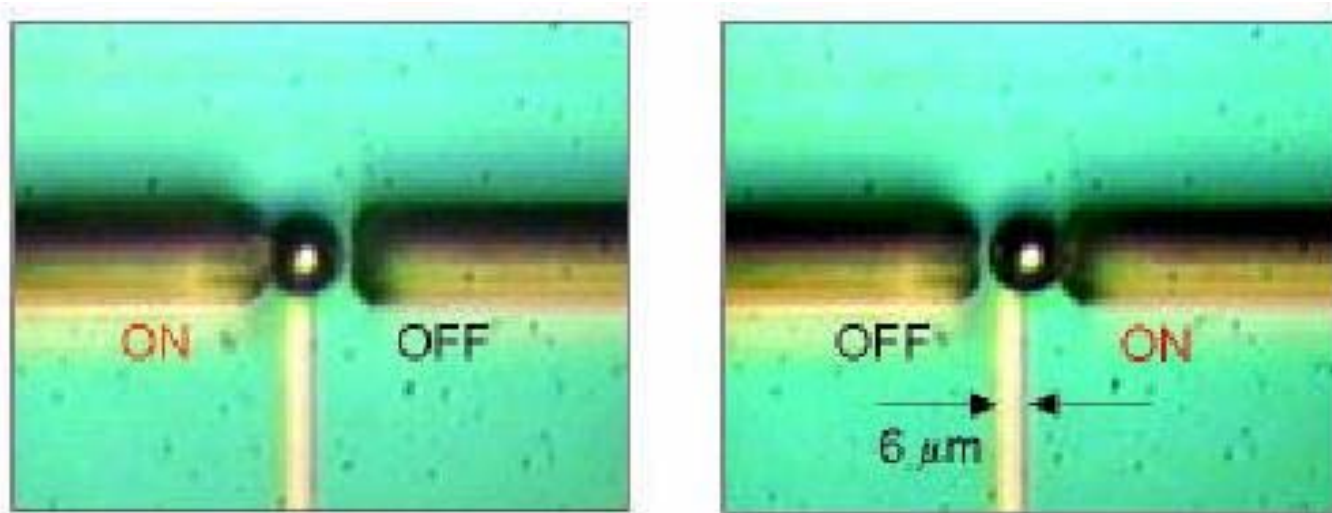
S. Pacheco, C. T.-C. Nguyen, and L. P. B. Katehi, Proceedings, IEEE MTT-S International Microwave Symposium, Baltimore, Maryland, June 7-12, 1998.

42

# Væske/metall kontakt-svitsj

- Kan løse pålitelighetsproblemet (degradering) en har ved **faststoff - til - faststoff**
  - → Bruke **væske-til-faststoff**
- Kvikksølv (Hg) er en kandidat pga. egenskapene
  - Lav kontakt-resistans
  - Hindrer signal-ringing
  - Ikke kontakt-slitasje
  - Elektrostatisk aktivering
    - Aktiveringsspennning 100 – 150 V
  - → Væske ikke akseptert i IC-industrien!

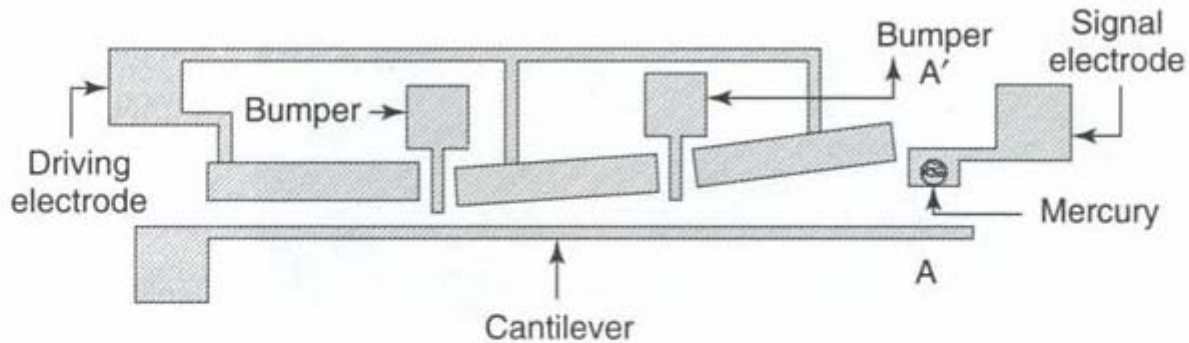
# Kvikksølv-svitsj



Kvikksølvkulen flytter seg

Planar prosess, foto, JHU, Appl Physics Lab

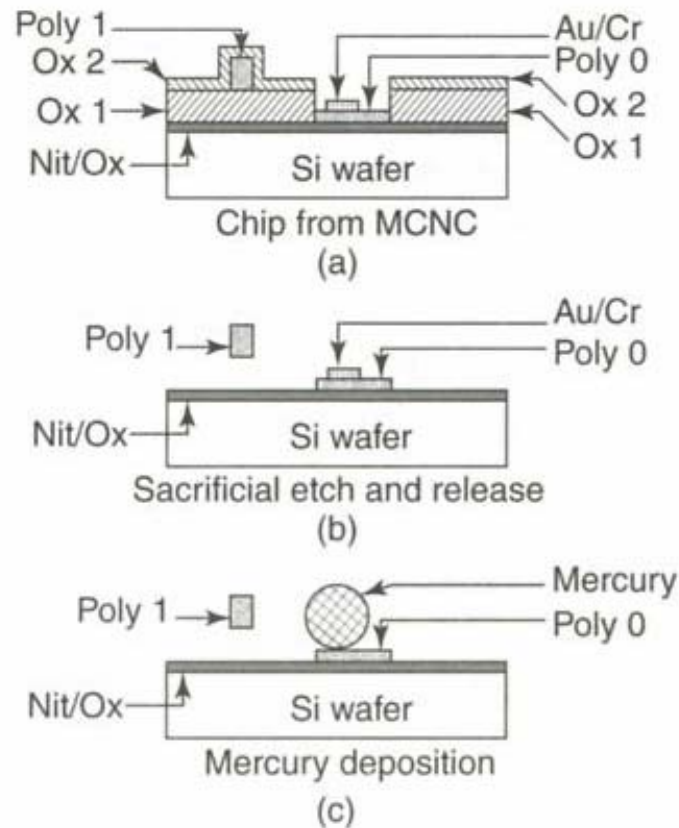
# Kvikksølv-svitsj



**Figure 3.33** Schematic diagram of the mercury contact micro relay. Reproduced from S. Saffer, J. Simon and C.J. Kim, 1996, 'Mercury contact switching with gap-closing microcantilever', *Proceedings of SPIE*, 2882: 204–209, by permission of SPIE

**Figuren viser svitsjen sett ovenfra**

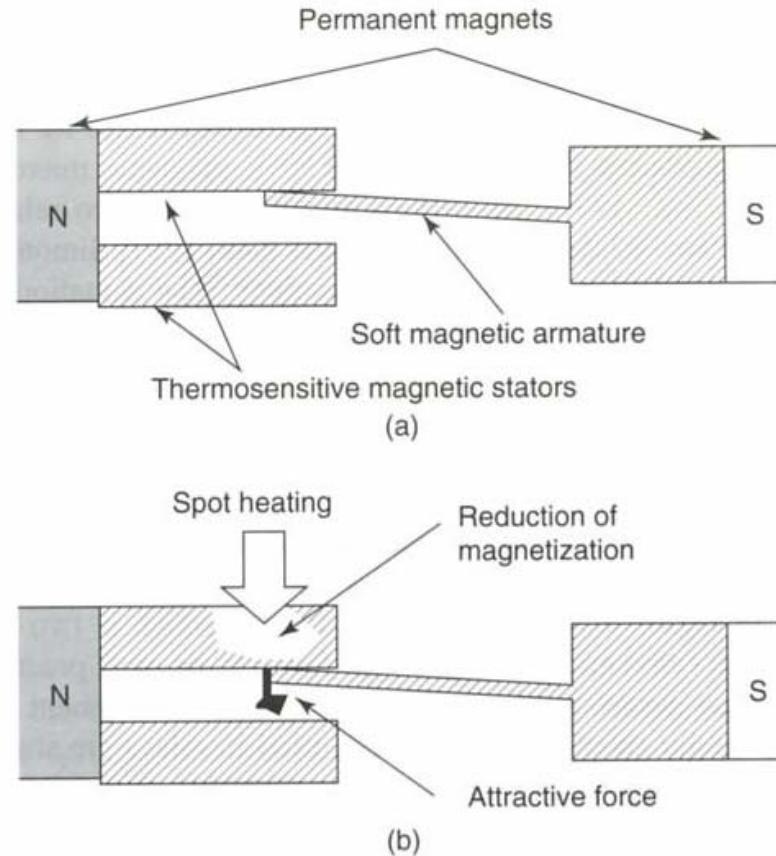
# Kvikksølv-svitsj, forts.



**Figure 3.34** Process flow at cross-section AA' of Figure 3.33. Note: MCNC, Microelectronics Center of North Carolina. Reproduced from S. Saffer, J. Simon and C.J. Kim, 1996, 'Mercury contact switching with gap-closing microcantilever', *Proceedings of SPIE*, 2882: 204–209, by permission of SPIE



# Termisk svitsjing



**Termofølsomme  
magneter**

**Figure 3.38** Principle of operation of thermally controlled magnetization micro relay. (a) without heat; (b) with heat. Note: N, north; S, south. Reproduced from E. Hashimoto, H. Tanaka, Y. Suzuki, Y. Uensishi and A. Watabe, 1994, 'Thermally controlled magnetic actuator (TCMA) using thermo sensitive magnetic materials', in *Proceedings of IEEE Microelectromechanical Systems Workshop, 1994*, IEEE, Piscataway, NJ, USA: 108–113, by permission of IEEE, © 1994 IEEE

# Noen utfordringer ved svitsj-design

- **Høyt elektrisk felt** i små dimensjoner
  - Deler av metall-overflaten kan smelte
  - Væske-metall-damp fortsetter ledningen når svitsjen er i av-tilstand
  - "Break-down" i dielektrikum
- **Selvaktivering**
  - Hvis RF-signalet, som kan være lite, overlages et DC-signal, kan det forekomme **selvaktivering**
    - Det kan derfor være en fordel å **dekoble** aktiverings- og signal-linjer i separate områder
- **Integrasjon av svitsj med IC**
  - (mer i senere forelesning)



# Utfordring: System-on-Chip (SoC)

Svitsj integrert med IC:

2318

IEEE JOURNAL OF SOLID-STATE CIRCUITS, VOL. 38, NO. 12, DECEMBER 2003

## An Above IC MEMS RF Switch

Daniel Saias, Philippe Robert, Samuel Boret, Christophe Billard, Guillaume Bouche, Didier Belot, and Pascal Ancey

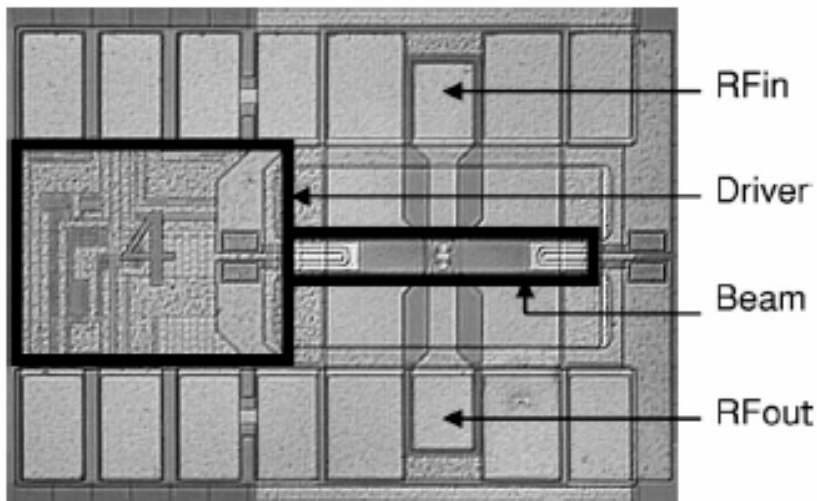


Fig. 9. Switch and driver die Micrograph.

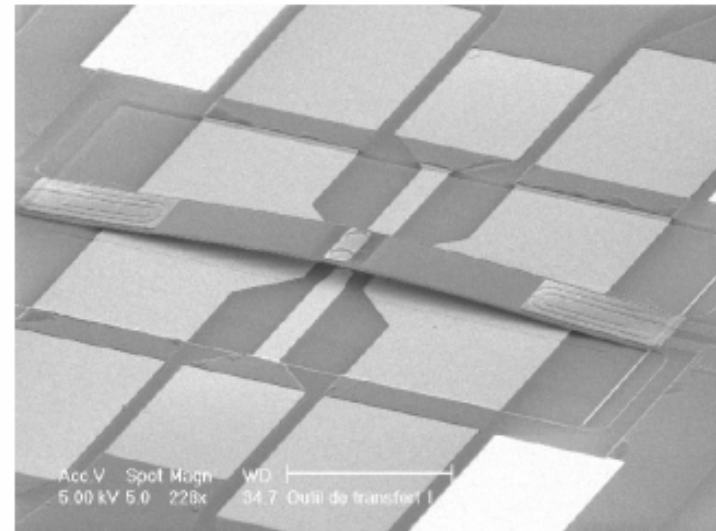


Fig. 1. SEM view of the microswitch.

# Sammenligning av ytelse ved ulike løsninger

TABLE II  
RF SWITCHING DEVICES COMPARED PERFORMANCE

	FET switch [2]	SOI CMOS Tx/Rx Switch High Resistivity substrate [3]	Stand alone MEMS solution [4]	Integrated MEMS (this work)
Insertion Loss	2 @ 6GHz	0.7 @ 2.5GHz	0.15 @10GHz	0.4 @6GHz
Isolation (dB)	-20 @ 6GHz	-50 @ 2.5GHz	-15 @10GHz	-40 @6GHz
Rs series (Ohm)				2
Cup series (fF)				1
Size (um x um)	~1mm <sup>2</sup>	0.02mm <sup>2</sup>	120x280	300x900
Switching time	10ns	10ns	5.3us	~250us
Actuation	--	--	Electrostatic	Thermal + Electrostatic
Driver	--	--	External	Internal (300umx300um)
Integration	GaAs embedded	SOI design / Separate Chip	Separate chip	embedded